

Física

Dimensionais

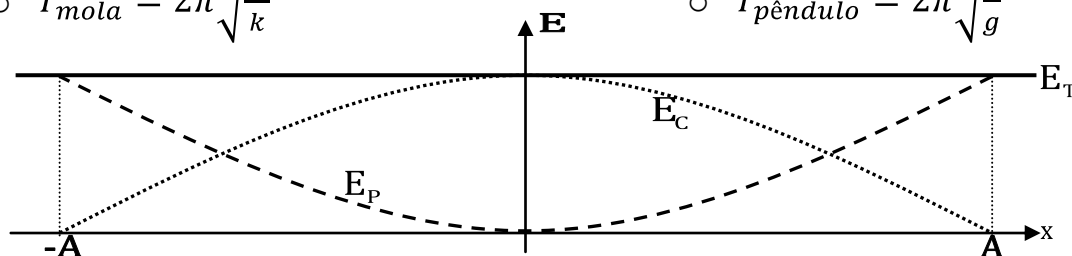
- Comprimento: m(metro)
- Massa: kg (kilograma)
- Tempo: s (segundo)
- Quantidade de Matéria: mol (mol)
- Temperatura Termodinâmica: K (Kelvin)
- Intensidade Luminosa: cd (candela)
- Intensidade de Corrente Elétrica: A (Ampére)

Ondas

- Tipos de Ondas
 - Hertzianas
 - Ondas Longas $\rightarrow (10^8\text{m})$
 - Ondas Médias $\rightarrow (10^6\text{m})$
 - Ondas Curtas $\rightarrow (10^4\text{m})$
 - Amplitude Modulada $\rightarrow (10^2\text{m})$
 - Freqüência Modulada $\rightarrow (10^0\text{m})$
 - Microondas $\rightarrow (10^{-2}\text{m})$
 - Infravermelho $\rightarrow (10^{-4}\text{m})$
 - Luz Visível $\rightarrow (10^{-6}\text{m})$
 - Ultravioleta $\rightarrow (10^{-8}\text{m})$
 - Raios χ $\rightarrow (10^{-10}\text{m})$
 - Raios γ $\rightarrow (10^{-12}\text{m})$
 - Raios Cósmiticos $\rightarrow (10^{-14}\text{m})$



- $v = \lambda f = \frac{\lambda}{T} = \sqrt{\frac{F}{\mu_{linear}}}$
- $v_{gás} = \sqrt{\frac{\gamma RT}{MM}}$
- Tubo Aberto (Corda Com Duas Extremidades Fixas): $f_n = n \frac{v}{2L}$
- Tubo Fechado (Corda Com Uma Extremidade Fixa): $f_{(2n-1)} = (2n-1) \frac{v}{4L}$
- Efeito Doppler: $f = f_0 \frac{v_0 \pm v_{Observador}}{v_0 \mp v_{Fonte}}$, aproximação
afastamento
- $p = 10 \log \left(\frac{I}{I_0} \right) \rightarrow$ Unidade: dB
- $I = kf^2 A^2$, A: amplitude
- Movimento Oscilatório
 - $x = A \cos(\omega t + \varphi_0)$
 - $v = -A\omega \sin(\omega t + \varphi_0)$
 - $a = -A\omega^2 \cos(\omega t + \varphi_0)$
 - $E_{total} = \frac{kA^2}{2}$
 - $T_{mola} = 2\pi \sqrt{\frac{m}{k}}$
 - $T_{pêndulo} = 2\pi \sqrt{\frac{l}{g}}$



• Ondas Periódicas

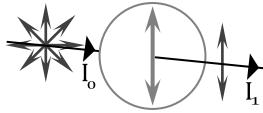
○ $y = A \cos \left[2\pi \left(\frac{t}{T} - \frac{x}{\lambda} \right) \right]$

○ $I = \frac{\text{Potência}}{\text{Área}}$

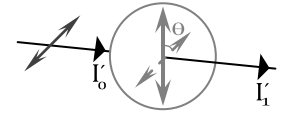
• Polarização da Luz

1- Absorção Seletiva

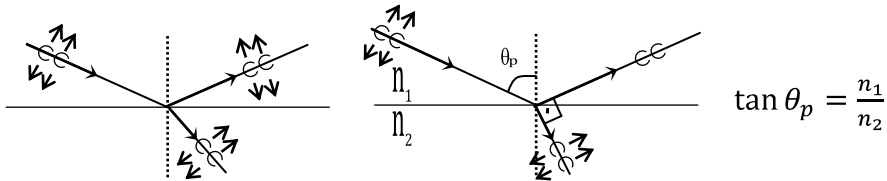
a. $I_1 = \frac{I_0}{2}$



b. $I_1 = I_0 \cos^2 \theta$



2- Reflexão



*Somente ondas transversais podem ser polarizadas!

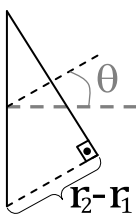
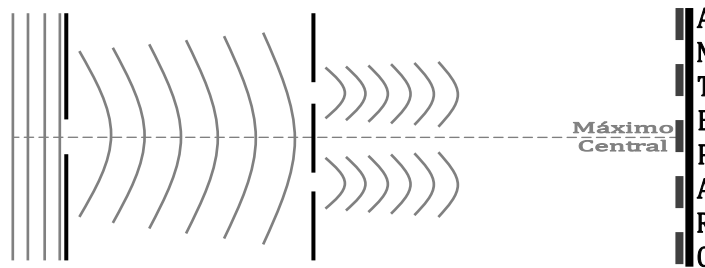
3- Polarização Circular

Quando o vetor \vec{E} da luz polarizada tem direção variável descrevendo um círculo, dizemos que a luz está circularmente polarizada.

○ $I = \frac{I_0}{2}$

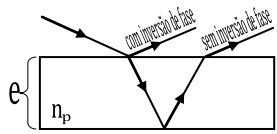
• Experimento de Young

○ Luz Monocromática e Polarizada



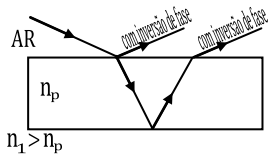
- Condições de Interferência: $\Delta d = \begin{cases} \frac{m\lambda}{2}, & m \text{ par (construtiva)} \\ \frac{k\lambda}{2}, & k \text{ ímpar (destrutiva)} \end{cases}$
- Máximos: $d \sin \theta = m\lambda, m \in \mathbb{Z}$.

• Interferência em Películas Delgadas



○ $e = \frac{m\lambda_{AR}}{4n_p}$

m par: destrutiva
 m ímpar: construtiva

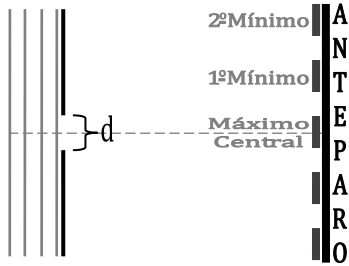


○ $e = \frac{m\lambda_{AR}}{4n_p}$

m par: construtiva
 m ímpar: destrutiva

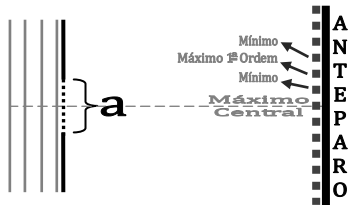
• Difração em Fenda Única

○ Princípio de Huygens



$d \sin \theta = m\lambda$ (mínimos $\rightarrow m \in \mathbb{Z}$)

• Redes de Difração



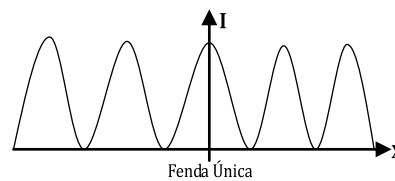
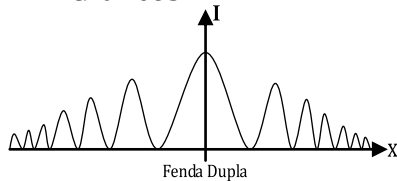
- $d \sin \theta = m\lambda$ (máximos $\rightarrow m \in \mathbb{Z}$)
- $d = \frac{1}{n} \text{ cm}$
- n linhas por cm

• Anéis de Newton

○ $2d = m\lambda$

○ $r = \sqrt{R\lambda} \cdot \sqrt{m}$

▪ Gráficos



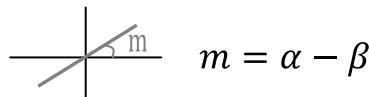
▪ Caminho Óptico: número de λ contidos em um trajeto da luz entre dois pontos.

• Superposição de MHS

○ $x = x_0 \cos(\alpha + \omega t)$

○ $y = y_0 \cos(\beta + \omega t)$

1- Reta: $\alpha - \beta = 2k\pi$



2- Circunferência: $\alpha - \beta = \frac{k\pi}{2}$

e $x_0 = y_0$

3- Elipse: $\alpha - \beta = \frac{k\pi}{2}$ e $x_0 \neq y_0$

4- Elipse "Inclinada": $x_0 = y_0$ e $\alpha - \beta \neq \left\{ 2k\pi e \frac{k\pi}{2} \right\}$

* Freqüências Audíveis: 16 até 20000 Hz

Mecânica

⇒ Forças

- Interação
 - a Contato
 - b À distância (de campo: $\vec{E}, \vec{g}, \vec{B}$)
- Inércia
 - a Einstein
 - b Centrífuga
 - c Euler
 - d Coriolis: $f_{cor} = -2m(\vec{\omega} \times \vec{v})$



* Hemisfério Sul: giro anti-horário

* Hemisfério Norte: giro horário

⇒ Gravitação Universal

- Kepler: $\frac{T^2}{R^3} = k$ (constante)

- Newton: $F = \frac{GMm}{R^2}$

⇒ Parábola de Segurança

- $y = \frac{V_0^2}{2g} - \frac{g}{2V_0^2} x^2$

⇒ Equação da Continuidade

- $A_1 v_1 = A_2 v_2$

⇒ Equação de Bernoulli

- $p_1 + \rho g h_1 + \frac{\rho v_1^2}{2} = \text{constante}$

⇒ Módulo de Young

- $y = \frac{m \cdot g \cdot l}{\Delta l \cdot A}$

⇒ Período

- $2\pi \sqrt{\frac{l}{g}} \left[1 + \frac{1}{2^2} \sin^2 \left(\frac{1}{2} \varphi_0 \right) + \frac{1}{2^2} \left(\frac{3}{4} \right)^2 \sin^2 \left(\frac{1}{4} \varphi_0 \right) + \dots \right]$

Óptica Geométrica

⇒ Espelhos Curvos

- $\frac{1}{f} = \frac{1}{p} + \frac{1}{p'}$
- $p' \begin{cases} > 0 \text{ (real)} \\ < 0 \text{ (virtual)} \end{cases}$
- $f \begin{cases} > 0 \text{ (côncavo)} \\ < 0 \text{ (convexo)} \end{cases}$
- $f^2 = x \cdot x'$
- $A = \frac{i}{o} \begin{cases} > 0 \text{ (direita)} \\ < 0 \text{ (invertida)} \end{cases}$

⇒ Snell

- $\frac{\sin i}{\sin r} = \frac{v_1}{v_2} = \frac{n_2}{n_1}$

⇒ Dioptra Curva

- $\frac{n_2 - n_1}{R} = \frac{n_1}{p} + \frac{n_2}{p'}$

⇒ Lâminas de Faces Paralelas

- $\Delta = e \frac{\sin(i-r)}{\sin r}$

⇒ Prismas

- $A = r_1 + r_2$
- $\delta = i_1 + i_2 - A$
- $A \leq 2L$
- $\delta_{\min} = 2i_1 - A$

- $\delta = A(n_{2,1} - 1)$
- $n_{2,1} = \frac{\text{sen } i_1}{\text{sen } r_1} = \frac{\text{sen}(\frac{A+\delta_{\min}}{2})}{\text{sen}(\frac{A}{2})}$

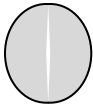
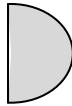
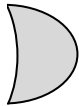
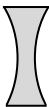
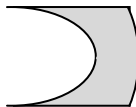
⇒ Lentes



- $V = \frac{1}{f} = (n_{2,1} - 1) \left(\frac{1}{R_1} + \frac{1}{R_2} \right)$

- $R > 0$: convexa
- $R < 0$: côncava
- $V > 0$: convergente
- $V < 0$: divergente

- *Miopia* → divergente, ($PR < \infty$) → alongamento do globo ocular
- *Hipermetropia* → convergente, ($PP > 25\text{cm}$) → encurtamento do globo ocular
- *Astigmatismo* → Cilíndrica, ($PR < \infty$) → alongamentodo globo ocular

<ul style="list-style-type: none"> • Biconvexa  ○ No Ar: Convergentes 	<ul style="list-style-type: none"> • Plano-Convexa  	<ul style="list-style-type: none"> • Côncavo-Convexa  ○ $R_{\text{Côncavo}} > R_{\text{Convexa}}$
<ul style="list-style-type: none"> • Bicôncava  ○ No Ar: Divergentes 	<ul style="list-style-type: none"> • Plano-Côncava  	<ul style="list-style-type: none"> • Convexo-Côncava  ○ $R_{\text{Côncavo}} < R_{\text{Convexa}}$

⇒ Princípio de Fermat

- A luz gasta o menor tempo possível para ir de um ponto a outro.

⇒ Instrumentos Ópticos

- 1- Microscópio Simples ou Lupa: uma lente convergente
- 2- Microscópio Composto: duas lentes convergentes
- 3- Luneta Astronômica: duas lentes convergentes

- $f_{\text{objetiva}} \equiv f_{\text{ocular}}$

- $A = -\frac{f_{\text{objetiva}}}{f_{\text{ocular}}}$

- 4- Máquina Fotográfica: uma lente convergente

Incidente/Objeto	Feixe	Emergente/Imagem
Virtual	Convergente	Real
Imprópria	Paralelo	Imprópria
Real	Divergente	Virtual

- Estigmático: feixe paralelo dá um ponto.
- Aplanético: plana → plana.
- Ortoscópico: mesmas dimensões.

Termodinâmica

$$\Delta U = Q - \omega$$

⇒ Isotérmica:
Boyle-Mariotte

- $\omega = nRT \ln\left(\frac{V_f}{V_i}\right)$
- $\Delta U = 0$

⇒ Isocórica:

- $\Delta U = Q_V = nC_V \Delta T$

⇒ Adiabática:

- $U = \frac{3}{2} pV = \frac{3}{2} nRT$
- $Q = 0$
- $p_0 V_0^\gamma = p_1 V_1^\gamma$

- $T_0 V_0^{\gamma-1} = p_1 V_1^{\gamma-1}$
- $\Delta U = -\omega$
- $\omega = \frac{p_f V_f - p_0 V_0}{\gamma-1}$

⇒ Isobárica:

- $\omega = p \Delta V$

- $Q_p = nC_p \Delta T$

○ $C_p - C_V = R$

○ $\gamma = \frac{C_p}{C_V} = \frac{Q_p}{Q_V} = \frac{c_p}{c_v} = \frac{E_{CT} + E_{CR} + E_{CV} + p \Delta V}{E_{CT} + E_{CR} + E_{CV}}$

⇒ Coeficiente de Poisson (γ):

- Gás Monoatômico $\rightarrow \frac{5}{3} = 1,67$
- Gás Diatômico $\rightarrow \frac{7}{5} = 1,40$
- Gás Poliatômico $\rightarrow \frac{8}{6} = 1,33$

⇒ Termologia

- $\frac{C}{5} = \frac{F-32}{9} = \frac{R}{8}$

⇒ Propagação do Calor

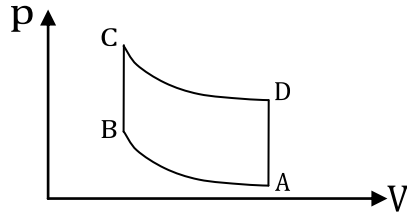
- Convecção
- Condução
- Irradiação

- $e = a\sigma T^4$
- $P = Ae\sigma T^4$
- $[\sigma] = \frac{W}{m^2 K^4}$

- Fourier: $\Delta\phi = \frac{Q}{t} = \frac{kA}{e} (\theta_2 - \theta_1)$

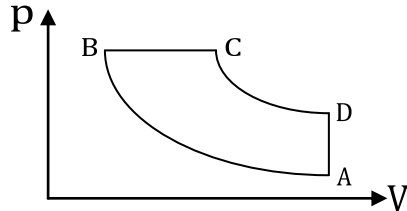
⇒ Ciclos

• Otto



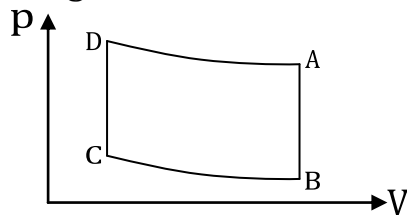
- AB e CD: adiabáticas
- BC e DA: isocóricas

• Diesel



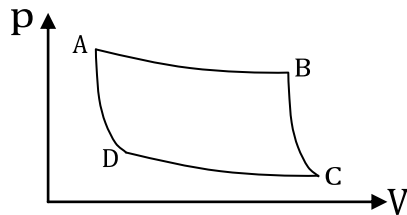
- $\eta = 1 - \frac{1}{\gamma} \left(\frac{T_D - T_A}{T_C - T_B} \right)$
- BC: isobárica
- DA: isocórica

• Stirling



- AD e BC: isotérmicas
- AB e CD: isocóricas

• Carnot



- $\eta = 1 - \frac{T_{\text{fonte fria}}}{T_{\text{fonte quente}}}$
- AB e CD: isotérmicas
- BC e DA: adiabáticas

$$\blacksquare \eta = \frac{W}{Q_{\text{fonte quente}}} = 1 - \frac{Q_{\text{fonte fria}}}{Q_{\text{fonte quente}}}$$

Eletricidade

⇒ Fluxo

- $\phi = E \cdot A \cdot \cos \theta$
- $\phi = \frac{q_{\text{interna}}}{\epsilon}$

⇒ Corrente Elétrica

- $v_m = \frac{i}{N \cdot e \cdot A}$

⇒ Magnetismo

- Condutor Reto: $B = \mu_0 \frac{i}{2\pi r}$
- Espira Circular: $B = \mu_0 \frac{i}{2r}$

↑ i_1 ↑ i_2 ○ Atração

↑ i_1 ↓ i_2 ○ Repulsão

$$\blacksquare F_{\text{magnética}} = qvB \sin \theta$$

⇒ Auto Indutância:

- $L_i = B \cdot S \cdot N = \phi$
- $L = \frac{\mu \cdot N^2 \cdot A}{l}$

$$\bullet i = \frac{\Delta Q}{\Delta t}$$

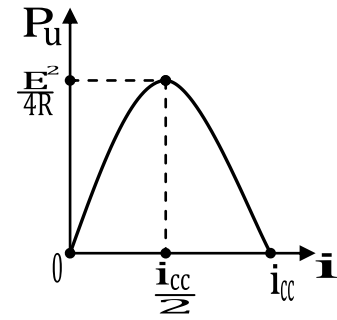
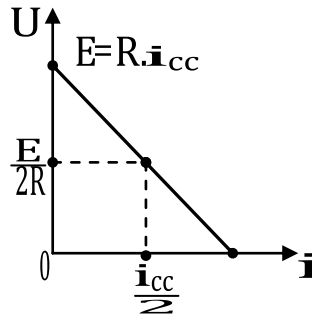
$$\bullet \text{Bobina Chata: } B = \mu_0 \frac{i}{2r} N$$

$$\bullet \text{Solenóide: } B = \mu_0 \cdot i \cdot \frac{N}{L}$$

$$\blacksquare F_{\text{magnética}} = Bil \sin \theta$$

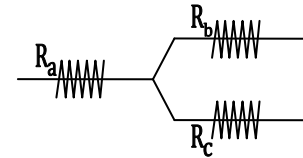
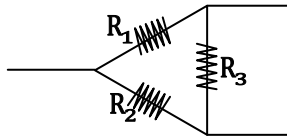
⇒ Eletrodinâmica

- $U = E - Ri$
- $Ui = Ei - Ri^2$
- $P_{\text{útil}} = P_{\text{total}} - P_{\text{dissipada}}$
- $P_{\text{máx}} \Leftrightarrow R = r$
- $\eta = \frac{U}{E} = 1 - \frac{i}{i_{\text{curto circuito}}}$



⇒ Delta-Estrela

- $R_a = \frac{R_1 R_2}{R_1 + R_2 + R_3}$



⇒ Indução Magnética

- $\epsilon' = l \cdot B \cdot v$
- $\phi_m = B \cdot A \cdot \cos \theta$

⇒ Potencial Elétrico

- $V = \frac{E_p}{q} = \frac{kQ}{d}$
- $\epsilon = q\Delta V$

○ $q_1 = R_1 \frac{\sum q}{\sum R}$

⇒ Condutor Esférico

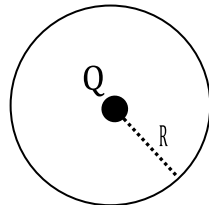
- $Q = CV$
- $E = \frac{QV}{2} = \frac{CV^2}{2} = \frac{Q^2}{2C}$

- $C = \frac{\epsilon_0 A}{d}$
- $\frac{C}{C_0} = \frac{\epsilon}{\epsilon_0} = k > 1$

⇒ Aplicando Gauss

1º Determinar E de uma carga pontual

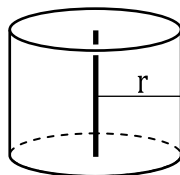
○ $E = \frac{1}{4\pi\epsilon_0} \cdot \frac{Q}{R^2}$



2º Distribuição retilínea de carga

○ $E = \frac{\lambda}{\epsilon_0} \cdot \frac{1}{2\pi r}$

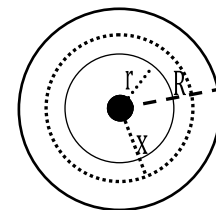
○ $\lambda = \frac{Q}{l}$



3º Superfície Esférica

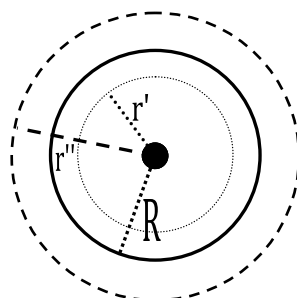
- $r < x$
 - $E = 0$
- $R > x$
 - $E = \frac{\delta}{\epsilon_0}$

- $\delta = \frac{Q}{S}$
- $E = \frac{1}{4\pi\epsilon_0} \cdot \frac{Q}{R^2}$

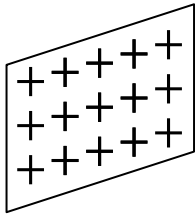


4º Volumétrica

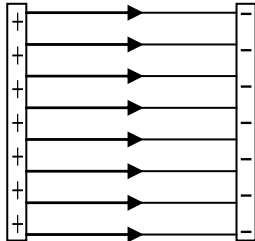
- $r > R$
 - $E = \frac{1}{4\pi\epsilon_0} \cdot \frac{Q}{r^2}$
- $r < R$
 - $E = \frac{Q}{4\pi\epsilon_0} \cdot \frac{r}{R^3}$



5º Superfície Plana

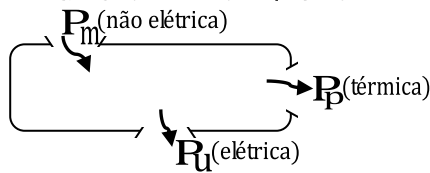


$E = \frac{\delta}{2\epsilon_0}$

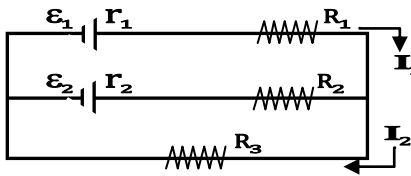


⇒ Gerador

$G: \epsilon \cdot i = r \cdot i^2 + V \cdot i$



⇒ Maxwell



$$\begin{cases} \epsilon_1 - \epsilon_2 = (R_1 + R_2 + r_1 + r_2)I_1 - (R_2 + r_2)I_2 \\ \epsilon_2 = (R_2 + R_3 + r_2)I_2 - (R_2 + r_2)I_1 \end{cases}$$

⇒ Circuito RC

$\epsilon = R \cdot i + \frac{Q}{C}$

$i = \frac{dQ}{dt}$

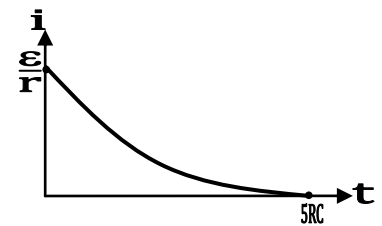
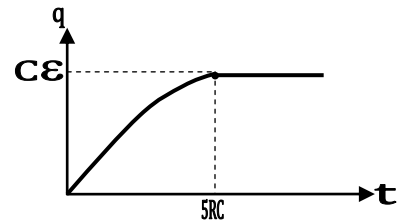
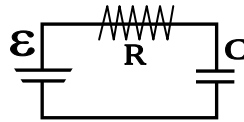
$dQ = \frac{C \cdot \epsilon - Q}{R \cdot C} \Rightarrow \int \frac{1}{C \cdot \epsilon - Q} dQ = \int \frac{1}{R \cdot C} dt$

$q = C \cdot \epsilon \left(1 - e^{-\frac{t}{R \cdot C}}\right)$

$i = \frac{\epsilon}{r} \cdot e^{-\frac{t}{R \cdot C}}$

◆ $\frac{1}{2} E \rightarrow$ Efeito Joule

◆ $\frac{1}{2} E \rightarrow$ Distribuída entre os capacitores



⇒ ATENÇÃO!

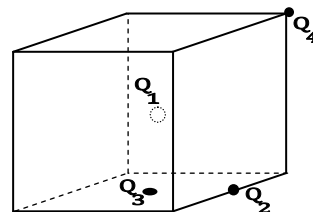
$\phi_1 = \frac{Q}{\epsilon_0}$

$\phi_2 = \frac{Q}{4\epsilon_0}$

$\phi_{Face} = \frac{Q}{24\epsilon_0}$

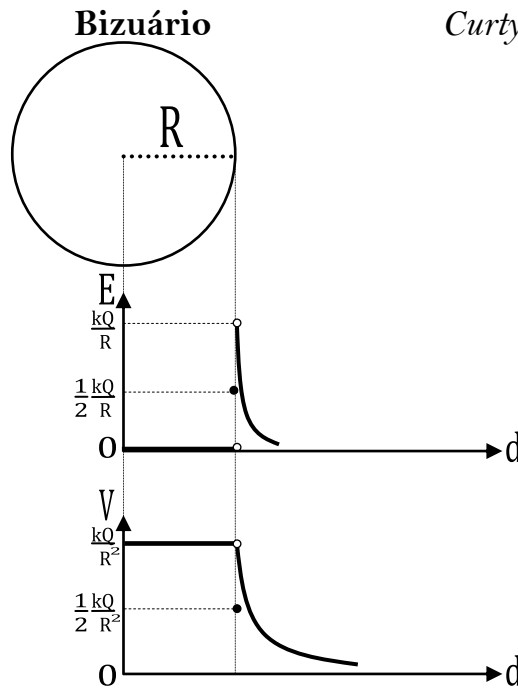
$\phi_3 = \frac{Q}{2\epsilon_0}$

$\phi_4 = \frac{Q}{8\epsilon_0}$



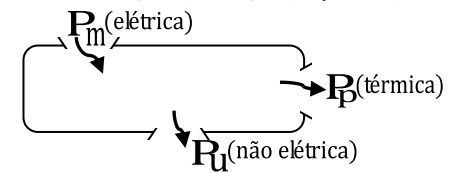
⇒ Força Entre Capacitores

$F = \frac{Q^2}{2\epsilon_0 A}$



⇒ Receptor

$A R: V' \cdot i = \epsilon' \cdot i + r' \cdot i^2$



⇒ Equilíbrio entre Condutores Elétricos

q_A, V_A, C_A q_B, V_B, q_B q_C, V_C, C_C

- $V = \frac{q_A + q_B + q_C}{C_A + C_B + C_C}$

q'_A, V, C_A q'_B, V, C_B q'_C, V, C_C

- $q'_A = C_A V$

Equações de Maxwell

- Lei de Gauss → $\int_S \vec{E} \cdot \vec{n} dS = \frac{1}{\epsilon_0} \int_S dq$
- Gauss → $\int_S \vec{B} \cdot \vec{n} dS = 0$
- Faraday-Lenz → $\oint \vec{E} \cdot d\vec{e} = \frac{-d\phi_B}{dt}$
- Ampère-Maxwell → $\oint \vec{B} \cdot d\vec{e} = \mu_0 \int di + \mu_0 \epsilon_0 \frac{d\phi_E}{dt}$

$v = \sqrt{\frac{1}{\mu_0 \epsilon_0}}$

 $E_B > E_C > E_A$
 $V_A > V_C > V_B$

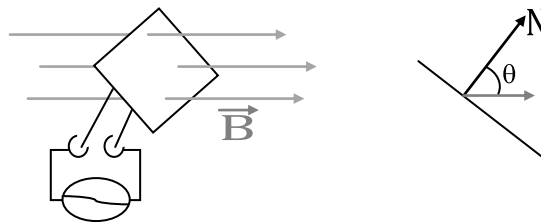
Transformador Ideal

- $\frac{I_1}{I_2} = \frac{V_2}{V_1} = \frac{N_2}{N_1}$

⇒ Corrente Alternada

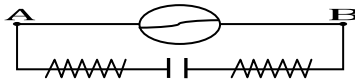
1) Gerador de C.A.

- $\phi = B \cdot A \cdot \cos \theta$
- $\epsilon i = \frac{d\phi}{dt}$
- $\epsilon = \omega \cdot B \cdot A \cdot \text{sen}(\omega t)$
- $\epsilon = \epsilon_0 \cdot \text{sen}(\omega t)$



2) Circuito RLC

- $i = i_0 \cdot \text{sen}(\omega t)$



○ Elemento Resistivo
 ○ $V_R = V_{OR} \cdot \text{sen}(\omega t)$

○ Elemento Capacitivo
 ○ $V_C = \frac{i_0}{\omega \cdot C} \cdot \text{sen}(\omega t - \frac{\pi}{2})$

○ Elemento Indutivo
 ○ $V_L = \omega \cdot L \cdot i_0 \cdot \text{sen}(\omega t - \frac{\pi}{2})$

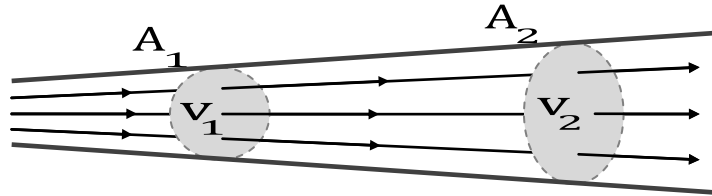
Dinâmica de Flúidos

- Movimento
- Estacionário: ρ_p, p_p e v_p não dependem do tempo.
- Não-Estacionário: ρ_p, p_p e $v_p = f(t)$.

- Compreensível: $\rho = f(x, y, z, t)$.
- Incompreensível: ρ não é função de x, y, z, t .
- Movimento
 - Rotacional: $\omega \neq 0$
 - Irrotacional: $\omega = 0$
- Viscoso: $F_{dissipativas\ internas}$
- Não-Viscoso: $\sum W_{forças\ sistema\ interno} = 0$

⇒ Equação da Continuidade

- $A_1 v_1 = A_2 v_2$



⇒ Equação de Bernoulli

- $p + \rho gh + \frac{1}{2}\rho v^2 = constante$

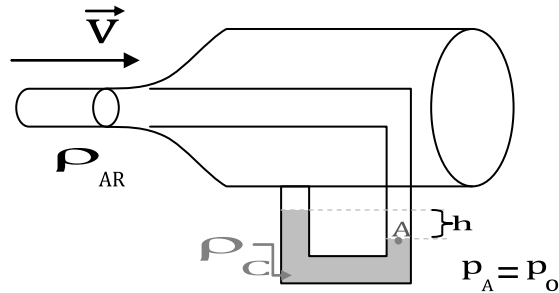
⇒ Tubo de Pitot

$$p_0 = p + \frac{\rho_{AR} v^2}{2} \Rightarrow \rho_c gh = \frac{\rho_{AR} v^2}{2}$$

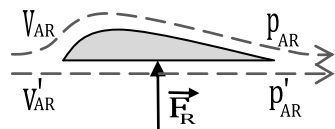
$$p_0 - p = \rho_c gh$$

$$v = \left(\sqrt{\frac{2\rho_c g}{\rho_{AR}}} \right) (\sqrt{h})$$

- $v = \sqrt{\frac{2\rho_c gh}{\rho_{AR}}}$



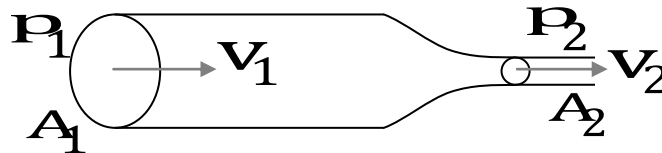
⇒ Efeito Asa



- Avião: $v_{AR} \Rightarrow p_{AR}; v'_{AR} \Rightarrow p'_{AR};$
 $p'_{AR} > p_{AR}; v_{AR} > v'_{AR};$
 $p'_{AR} - p_{AR} \neq 0 \Rightarrow \vec{F}_R.$

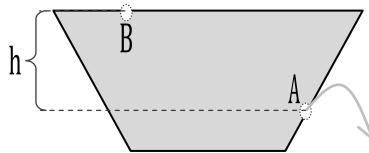
⇒ Tubo de Venturi

- $v_2 = A_1 \sqrt{\frac{2(p_1 - p_2)}{\rho(A_1^2 - A_2^2)}}$



⇒ Escoamento

- $p_A = p_B = p_{atm}$
- $v_B = 0$
- $v_A = \sqrt{2gh}$



Física Moderna

⇒ Equação de Planck

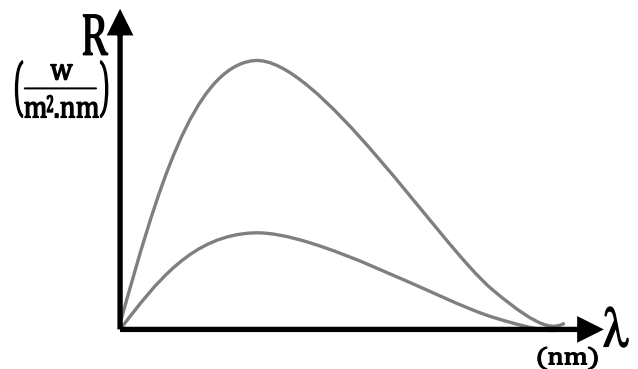
- $R = \frac{2\pi c^2 h}{\lambda^5} \cdot \left(e^{\left(\frac{hc}{\lambda kT}\right)} - 1 \right)^{-1}$

⇒ Equação de Rayleigh-Jeans

- $R = \frac{2\pi c kT}{\lambda^4}$

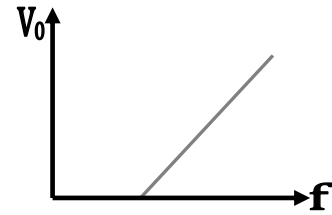
⇒ Radiação de Corpo Negro

- Lei de Wien: $\lambda_{máx} = \frac{A}{T}$



$\Rightarrow hf = ev_0 + \varphi$

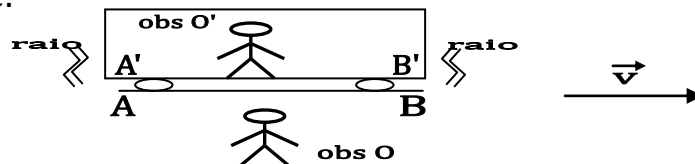
- φ : função trabalho: energia mínima para retirar elétron do átomo
- ev_0 : energia cinética máxima do elétron
- hf : energia do fóton
- Equação de Rydberg: $\frac{1}{\lambda} = R \left(\frac{1}{2^2} - \frac{1}{n^2} \right)$
- $\lambda_{elétron} = \frac{h}{mv}$



Teoria da Relatividade Restrita

- Até o início do séc. XX
 - ◆ Newton: As leis da mecânica são válidas em todo referencial inercial
- No início do séc. XX
 - ◆ Einsten: Teoria da relatividade restrita se baseia em dois postulados:
 - As leis da física são válidas em todo referencial inercial.
 - A velocidade da luz é a mesma em todo referencial inercial.

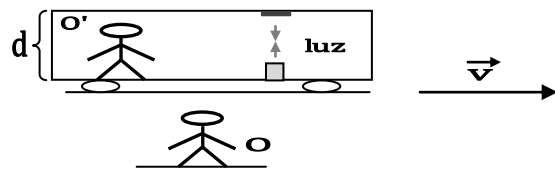
\Rightarrow Simultaneidade:



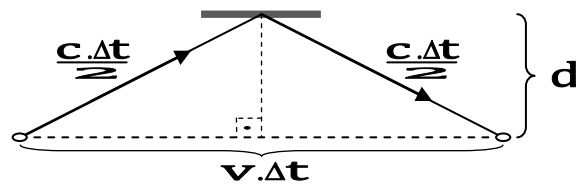
\Rightarrow Relatividade do Tempo

Tempo próprio ($\Delta t'$): intervalo de tempo medido por um observador em repouso em relação aos eventos INÍCIO e FIM.

- $O': 2d = c \cdot \Delta t'$
 $\Delta t' = \frac{2d}{c}$



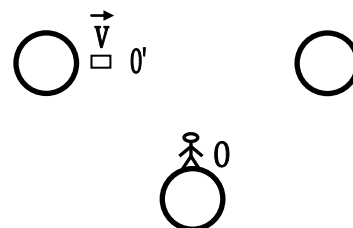
- $d^2 = \left(\frac{c \cdot \Delta t}{2}\right)^2 - \left(\frac{v \cdot \Delta t}{2}\right)^2$
 $\frac{2d}{c} = \Delta t' = \Delta t \sqrt{1 - \frac{v^2}{c^2}}$
 $\Delta t' < \Delta t$



\Rightarrow Relatividade do Comprimento

Comprimento próprio (L'): medido por um observador em repouso em relação à distancia desejada.

- $O': L' = v \cdot \Delta t$; $\frac{L'}{L} = \frac{\Delta t}{\Delta t'}$
 $L = L' \sqrt{1 - \frac{v^2}{c^2}}$
 $L < L'$



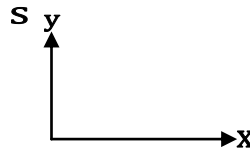
Efeito Doppler para Ondas Eletromagnéticas

- $f_{afast.} = f_o \sqrt{\frac{c-v}{c+v}}$ ← f v 0 →

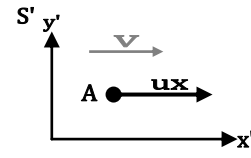
- $f_{aprox.} = f_o \sqrt{\frac{c+v}{c-v}}$ f → v ← 0

Transformação de Velocidades

V: velocidade de S' em relação a S.

U_x: velocidade de A em relação a S.U'_x: velocidade de A em relação a S'.

$$u'_x = \frac{u_x - v}{1 - \frac{u_x \cdot v}{c^2}}$$



$$u_x = \frac{u'_x + v}{1 + \frac{u'_x \cdot v}{c^2}}$$

Quantidade de Movimento Relativístico

A expressão deve atender a duas condições

- Conservar-se nas colisões;
- Ser equivalente ao caso clássico ($\vec{p} = m\vec{v}$) quando $v \ll c$.

$$\circ \vec{p} = \frac{m\vec{v}}{\sqrt{1 - \frac{v^2}{c^2}}}$$

Energia Relativística

Sabemos:

$$\circ \vec{F}_R = \frac{d\vec{p}}{dt}, \text{ se } \vec{F}_R \parallel \text{eixo } X \Rightarrow W_{FR} = \int_{x_1}^{x_2} F_R dx$$

$$\circ E_C = \frac{mc^2}{\sqrt{1 - \frac{v^2}{c^2}}} - mc^2 \Rightarrow \underbrace{\frac{mc^2}{\sqrt{1 - \frac{v^2}{c^2}}}}_{\text{Energia Total}} = E_C + \underbrace{mc^2}_{\text{Energia de Repouso}}$$

$$\circ E^2 = p^2 c^2 + (mc^2)^2$$

$$\quad \text{▪ Corpos em repouso: } E = mc^2$$

$$\quad \text{▪ Corpos sem massa (fótons): } E = pc \Rightarrow p = \frac{hf}{\lambda} = \frac{h}{\lambda}$$